

Anexos

Anexo A Isotermas de adsorción/desorción de N_2

Figura 1

Isoterma de adsorción/desorción de N_2 del carbón activado 2.

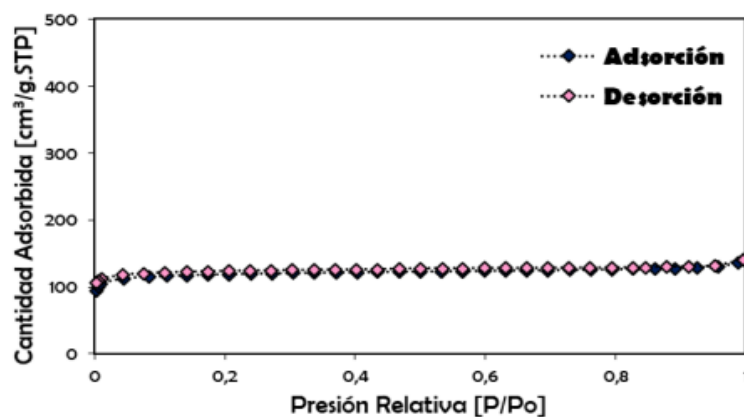


Figura 2

Isoterma de adsorción/desorción de N_2 del carbón activado

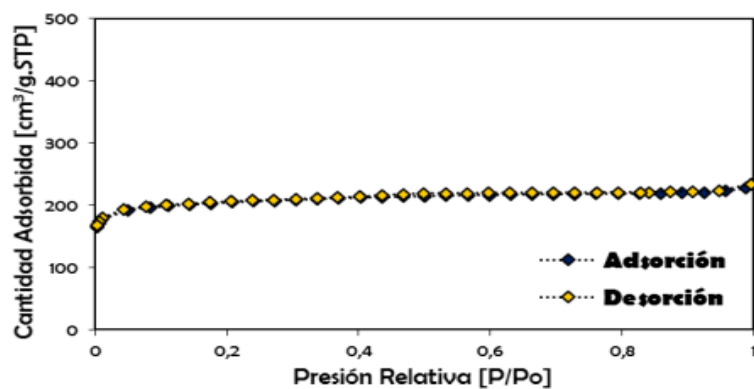
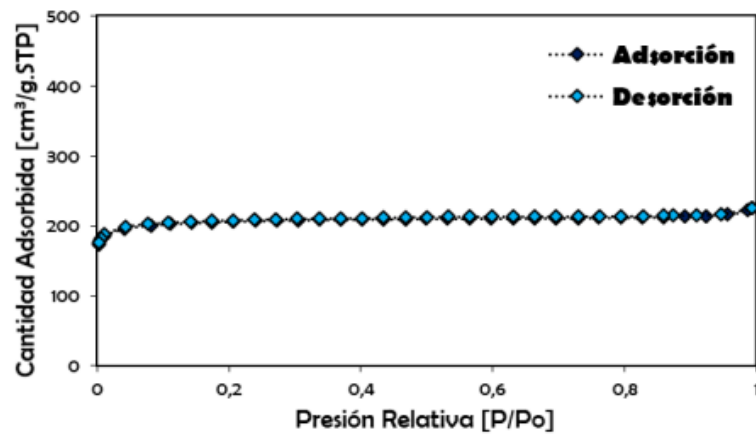


Figura 3

Isoterma de adsorción/desorción de N₂ del carbón activado 4.

**Figura 4**

Isoterma de adsorción/desorción de N₂ del carbón activado 5.

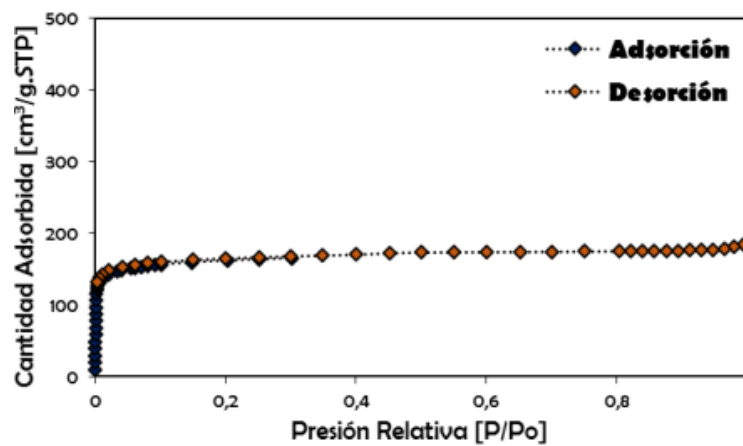
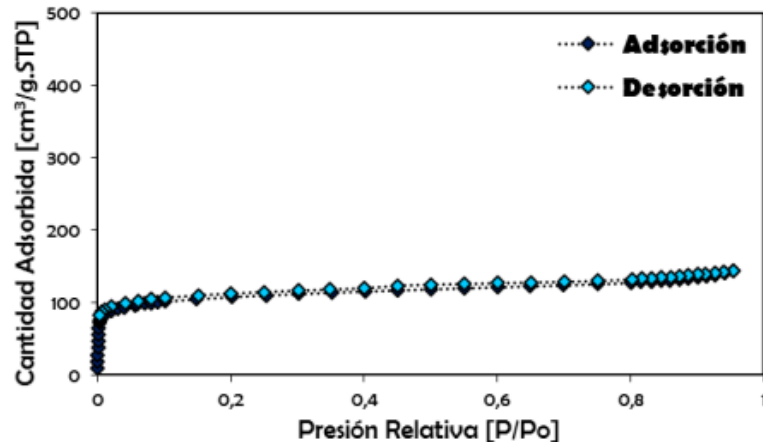


Figura 5

Isotermas de adsorción/desorción de N₂ del carbón activado 6.

**Figura 6**

Isoterma de adsorción/desorción de N₂ del carbón activado 7.

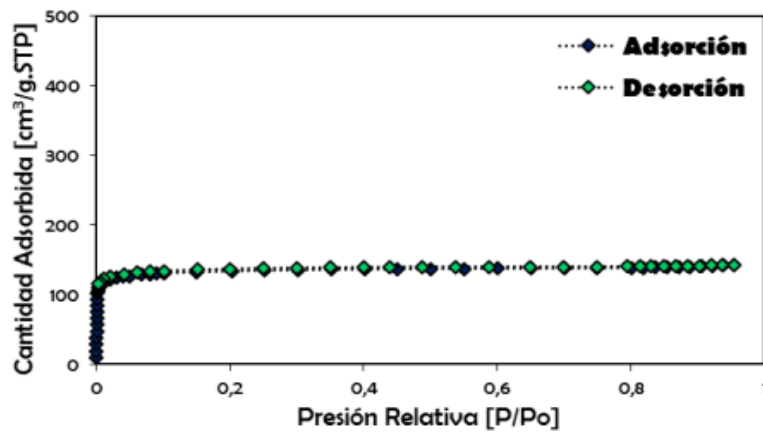
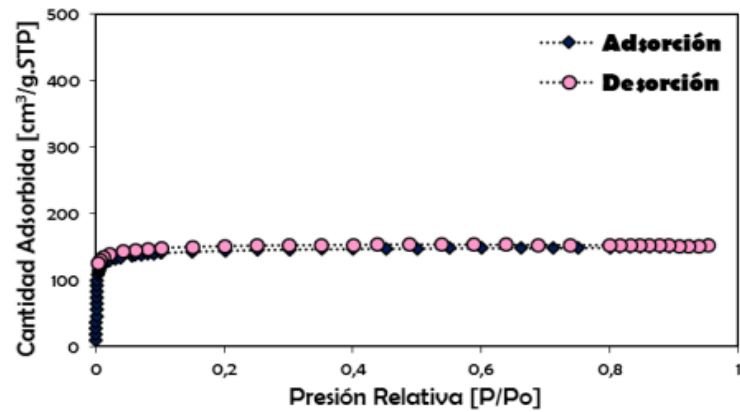


Figura 7

Isoterma de adsorción/desorción de N₂ del carbón activado 8.



Anexo B *Curvas de Calibración mediante ICP - OES*

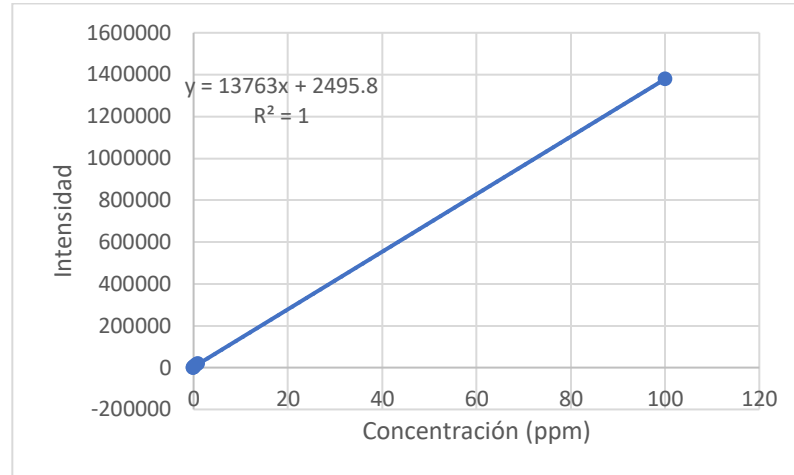
Tabla 1

Valores de concentración e intensidad para la obtención de la curva de calibración.

Concentración (ppm)	Intensidad Corregida
0	0
0.0048	-262
0.06	3,646
0.2	7,016
0.5	11,625
1	17,263
100	1,378,734

Figura 8

Curva de calibración para la determinación de Hg^{2+} a una longitud de onda 194,168 nm.

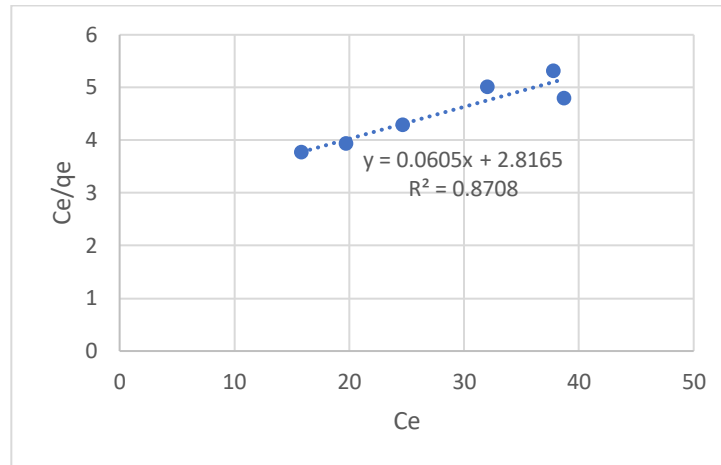


Anexo C Datos y gráficas de las isotermas de adsorción

Tabla 2

Datos para la construcción de la isoterma de Langmuir

<i>Isoterma de Langmuir</i>				
<i>C_i (ppm)</i>	<i>C_e (ppm)</i>	<i>$C_i - C_e$</i>	<i>q_e (mg/g)</i>	<i>C_e/q_e</i>
	<i>X</i>			<i>Y</i>
100	15.88	84.120	4.206	3.77555873
120	19.73	100.270	5.014	3.93537449
140	24.69	115.310	5.766	4.28236927
160	32.08	127.920	6.396	5.01563477
180	37.79	142.210	7.111	5.31467548
200	38.71	161.290	8.065	4.8000496

Figura 9*Gráfica isoterma de Langmuir***Tabla 3***Datos para la construcción de la isoterma de Freundlich.*

<i>Isoterma de Freundlich</i>					
C_i (ppm)	C_e (ppm)	$C_i - C_e$	q_e (mg/g)	$\ln(C_e)$ X	$\ln(q_e)$ Y
100	15.88	84.120	84.120	2.76506046	4.43224435
120	19.73	100.270	100.270	2.98214032	4.60786655
140	24.69	115.310	115.310	3.2063983	4.74762415
160	32.08	127.920	127.920	3.46823278	4.85140507
180	37.79	142.210	142.210	3.63204452	4.95730484
200	38.71	161.290	161.290	3.65609796	5.08320399

Tabla 4

Datos para la construcción de la isoterma de Temkin.

Isoterma de Temkin				
C_i (ppm)	C_e (ppm)	C_i - C_e	q_e (mg/g)	Ln(C_e)
			Y	X
100	15.88	84.120	84.120	2.76506046
120	19.73	100.270	100.270	2.98214032
140	24.69	115.310	115.310	3.2063983
160	32.08	127.920	127.920	3.46823278
180	37.79	142.210	142.210	3.63204452
200	38.71	161.290	161.290	3.65609796

Figura 10

Gráfica isoterma de Temkin

